研 究

測地実験衛星(EGS「あじさい」)の光学追尾実験

高部 政雄*, 板部 敏和*, 有賀 規* (昭和62年9月21日受理)

OPTICAL TRACKING OF THE EXPERIMENTAL GEODETIC SATELLITE (EGS)

By

Masao TAKABE, Toshikazu ITABE, and Tadashi ARUGA

This paper reports the optical tracking results of EGS (Experimental Geodetic Satellite) which was launched on August 13, 1986, by the National Space Development Agency of Japan (NASDA).

EGS optical tracking experiment process and an outline of Radio Research Laboratory (RRL) optical ground station are discussed. Two important techniques; (1) star tracking technique for optical equipment calibration and (2) satellite tracking technique for orbit prediction improvement, which were previously developed and used in this experiment, are also described. The accuracy of EGS tracking data obtained by RRL at the request of NASDA is also discussed. In addition, it is briefly demonstrated that the position of the Japanese Amateur Satellite (JAS-1) which was launched with the EGS, was accurately determined by means of a satellite tracking video.

It is clear from this experiment that optical observation data, i. e., satellite direction data, is very useful for satellite orbit determination during initial launch stages. Furthermore, the results confirm the effectiveness of these two satellite optical tracking techniques.

1. はじめに

NASDA (宇宙開発事業団) は、1986年8月13日H-Iロケット試験機1号機を種子島宇宙センターから打ち上げた. H-Iロケットの性能確認ペイロードである測地実験機能部(EGP=Experimental Geodetic Payload)は、軌道投入後、測地実験衛星(EGS)となり、「あじさい」と命名された.

EGS は、電波機器を搭載してないため⁽¹⁾、光学的手 段により観測及び軌道決定を行う必要がある.

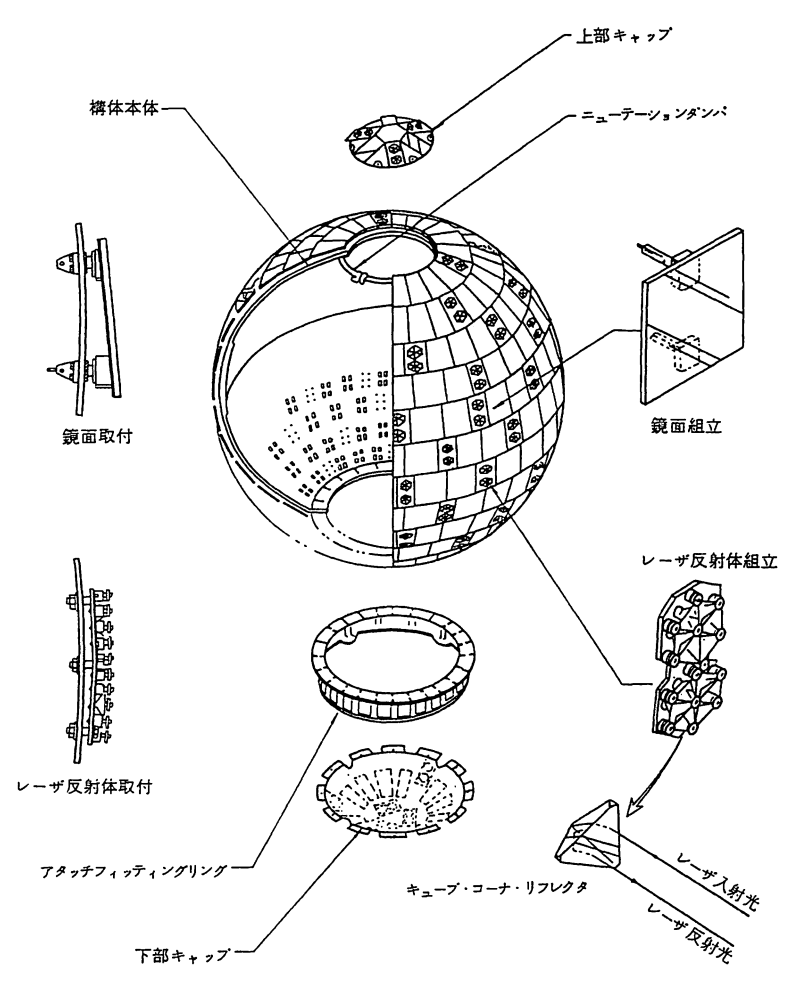
電波研究所では、NASDAとの技術援助協定により、 当所の衛星追尾光学装置で、予備試験及び初期観測に参加し、EGS の高精度位置データを取得し、観測に成功 した.

人工衛星の光学追尾は、外国でも国内においても種々

行われてきている. 従来, 主としてレーザ測距に伴った 光学追尾が行われてきた(2)(3)(4)(5). 一方当所では, 将来 の宇宙光通信やリモートセンシングへの応用を目標とし て, 衛星の光学追尾を行ってきている. 光通信では狭ビ ームのレーザ光をコンスタントに衛星に伝送する必要が あるため, より高精度の追尾が必要である. この目的の ために, 恒星追尾を行って装置の設置誤差を補正し, か つ光学追尾データを基に軌道要素の誤差を推定し軌道予 報値の改良を行う方法を提案し(6), 周回衛星の追尾や, ETS-III 衛星を利用したレーザ光伝送及び高精度姿勢決 定実験(1)にも成功し, 高精度の衛星追尾技術の開発を行ってきた.

今回の EGS の光学追尾実験の成功によって、当所の 開発した技術の有効性が再確認された.本論文では、上 記の方法についてのレビューを行いながら、電波研究所 における EGS の追跡結果について報告する.

^{*} 電波応用部 光計測研究室



第1図 測地実験衛星の形状

2. EGS の概要及び観測体制

EGS は、第1図のように球形の多面体で(**)、太陽光 反射鏡及び、レーザー光反射プリズムを装着したものであり、国内測地三角網の規正、離島位置の決定(海洋測地三角網の整備)並びに、日本測地点の確立を目指したもので、海上保安庁水路部と国土地理院が利用機関となっている。

EGS は、電波機器を全く持っていない受動的な衛星であるため、望遠鏡やレーザー測距装置を利用して観測し、軌道情報を得る必要がある、NASDAは、この目的に適した光学的観測設備を保有していないので、利用機関及び協力機関である電波研究所、東京天文台等が参加して第2図の観測体制で、EGS の軌道データを取得することになった。

電波研究所は、衛星追尾光学装置(第3図,第4図)

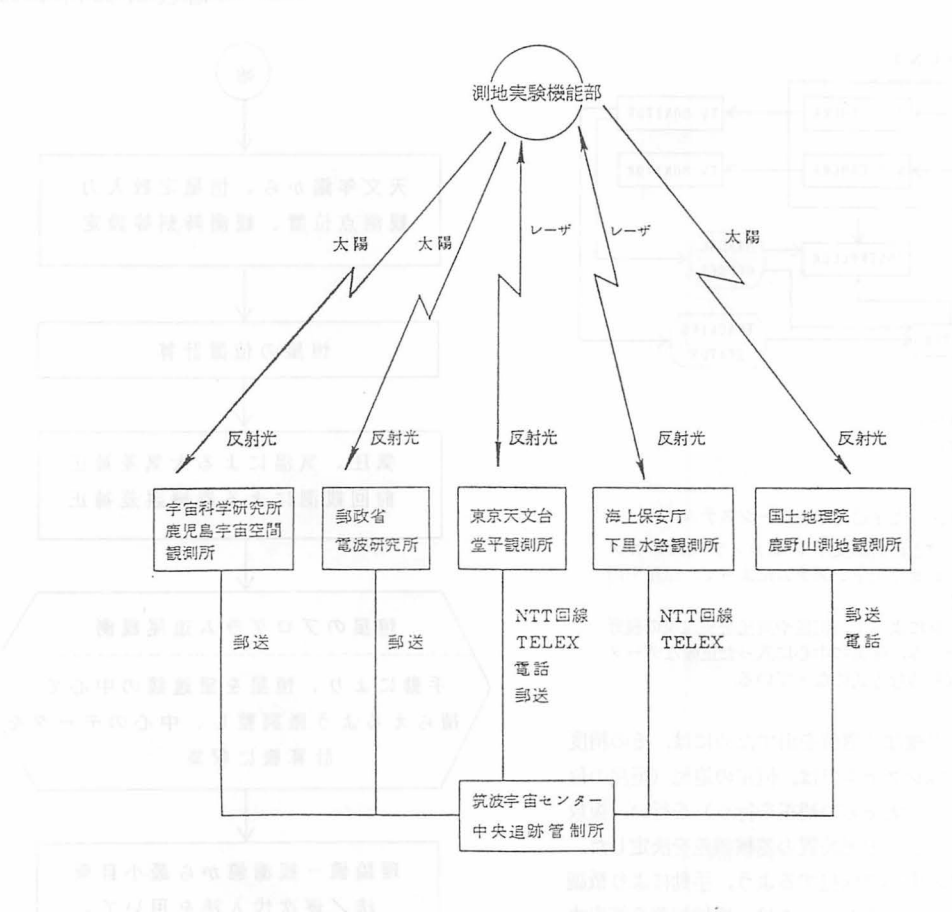
で NASDA から送られてくる軌道要素を基に、軌道計算を行い、追尾した.

3. 観測方法

衛星追尾に当たっては、次のような手順に従って実験を行った.① 正確な軌道値を求めるために、恒星を追尾し衛星追尾装置の校正を行う ② 軌道予報値による衛星の追尾を行い、追尾データを取得する ③ 衛星追尾後、そのデータを基に軌道予報値の改良を行い、より正確な次の追尾準備をする.以降、②③を繰り返して行った.

なお、打ち上げのロケットの飛行誤差による飛行時刻 のずれも予想されたので、プログラム追尾の開始を手動 によっても行えるよう、ハードウェア及びソフトウェア の若干の改造も行った.

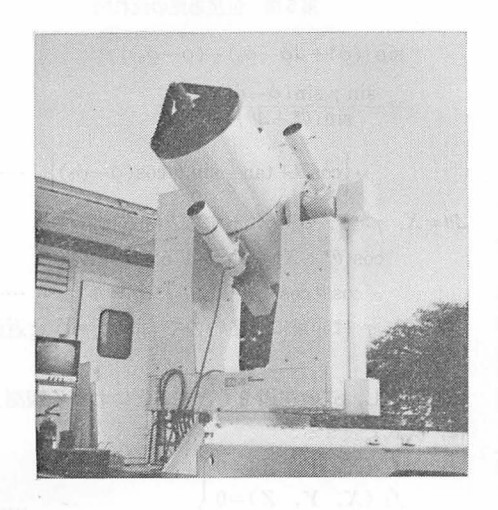
3.1 恒星追尾による装置の校正



注1. 初期捕捉にはアマチュア天文家の協力を受ける。

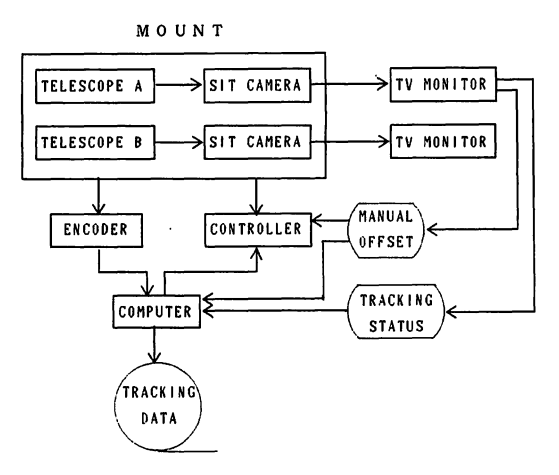
注 2. 海上保安庁水路部がNASAレーザ追跡網の支援を受ける

第2図 EGS の観測体制



架台部方式経緯儀式
回転精度4秒角制御部方式プログラム追尾制御間隔10 msec角度分解能1/1000度駆動パルスモータ光学部カセグレン方式口径50cm,視野0.2度ガイド望遠鏡屈折式口径10cm,視野1.1度

第3図 電波研究所 衛星追尾光学装置



第4図 光学追尾モニターシステム

2 台の望遠鏡と超高感度 テレビ カメラ (SIT カメラ) を組み合わせた光学システムによって,恒星や衛星を観測する.

手動の微調整によって,恒星や衛星を望遠鏡の視野の中心に追い込み,確実に中心に入った正確なデータを計算機に取り込む方式になっている.

衛星追尾で、正確な軌道値を出すためには、その精度が問題となる。本システムでは、恒星の追尾(恒星の位置計算に際しては、大気差の補正を行う)を行い、複数の恒星追尾データから追尾装置の器械誤差を決定した。恒星を主望遠鏡の中心で捕捉するよう、手動により微調整を行う。中心で捕らえたデータは、器械誤差を算出するため計算機に収集するという方法をとった(第4図参照)、恒星追尾の流れ図を第5図に示す。

なお、時刻については、JJY からの標準時刻信号で、 衛星追尾装置の時刻の同期をとっている.

器械誤差の決定は、

Az 回転軸の傾き

7

 E_l 回転軸の傾きの方向 ϕ_0

方位角零点誤差

Δφ

天頂角零点誤差

 $\Delta\theta$

以上四つの未知数を恒星追尾したデータで最小自乗法により求めた. (本方法の詳細については文献(6)を参照) 第6図の △ABS は球面三角法によって(8),

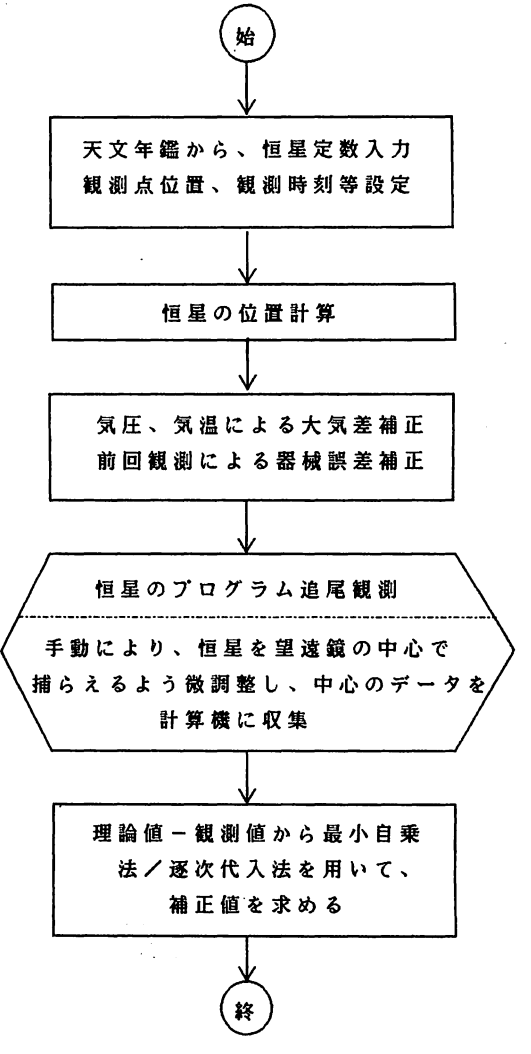
 $\cos\theta^* = \cos\theta\cos\gamma + \sin\theta\sin\gamma\cos(\phi - \phi_0)$

 $\sin \{ (\phi^* - \phi_0) - (\phi - \phi_0) \} = \frac{\sin \gamma \sin (\phi - \phi_0)}{\sin \alpha}$

$$\cdot \left\{ \cos \theta + \tan \frac{\gamma}{2} \sin \theta \cos (\phi - \phi_0) \right\} \quad \dots (2)$$

ここで零点誤差を $\Delta\theta$, $\Delta\phi$ とすると,

$$\cos(\theta^* + \Delta\theta) = \cos\theta \cos\gamma + \sin\theta \sin\gamma \cos(\phi - \phi_0) \quad \cdots (3)$$



第5図 恒星追尾の流れ図

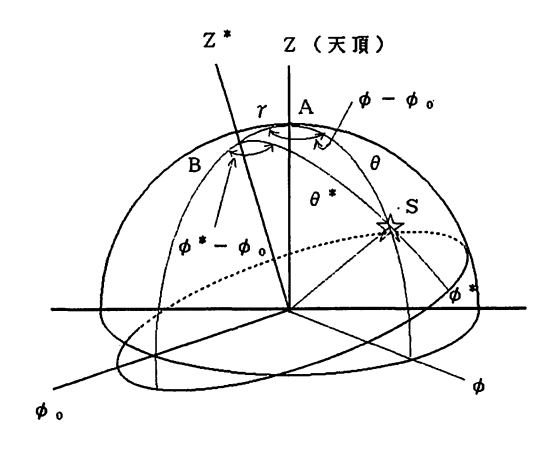
$$\sin \{ (\phi^* + \Delta \phi - \phi_0) - (\phi - \phi_0) \}
= \frac{\sin \gamma \sin (\phi - \phi_0)}{\sin (\theta^* + \Delta \theta)}
\cdot \left\{ \cos \theta + \tan \frac{\gamma}{2} \sin \theta \cos (\phi - \phi_0) \right\} \quad \dots (4)$$

$$\Delta\theta = X$$
, $\gamma = Y$, $\phi_0 = Z$ とすると(3)式は, $\cos(\theta^* + X) - \sin\theta \ Y \cos(\phi - Z)$ $-\cos\theta \cos Y = 0$ (5)

(ただし γ は非常に小さいので $\sin Y = Y$ と近似している)

m回測定し、式の左辺をfとするといわゆる観測方程式は、次式で表せる.

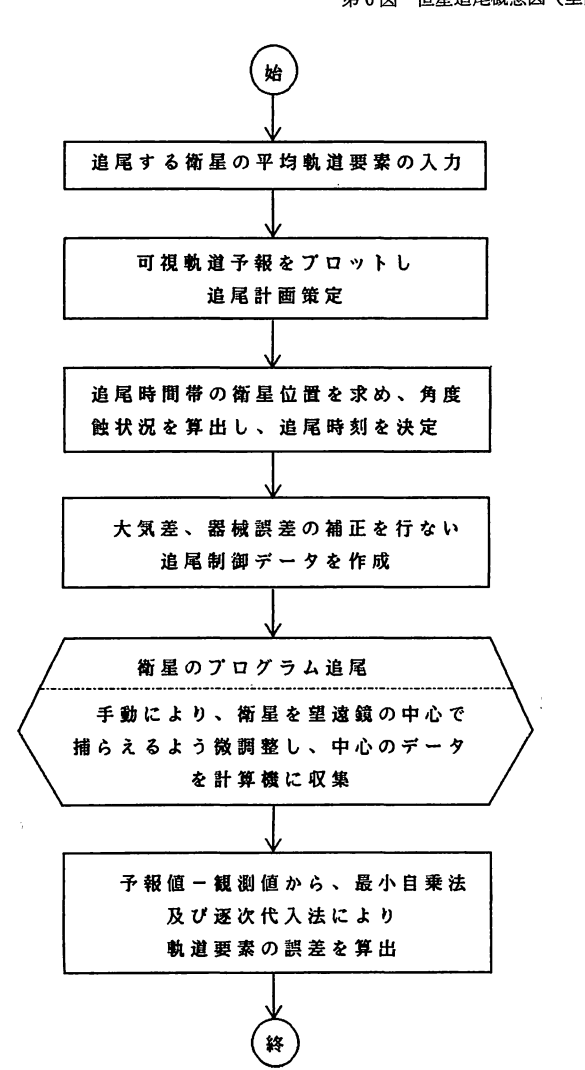
$$\begin{cases}
f_1(X, Y, Z) = 0 \\
f_2(X, Y, Z) = 0 \\
\vdots \\
f_m(X, Y, Z) = 0
\end{cases}
\dots
(6)$$



- S 恒星
- 恒星の天頂角
- 恒星の方位角
- γ A Z 回転軸の傾き
- ø。 A z 回転軸の傾き の方位
- θ* 望遠鏡からみた 恒星の天頂角 ø *

方位角

2 天頂 Z* 望遠鏡のA Z 回転軸の方向(見かけの天頂) 第6 図 恒星追尾概念図 (垂直軸が φ 方向に γ 傾斜)



第7図 衛星追尾の流れ図

3個の未知数X, Y, Zは一つの最小自乗法(付録I) により求める.

 $X_0 = X$, $Y_0 = Y$, $Z_0 = Z$ と置いて、繰り返し演算する と、X, Y, Z すなわち $\Delta\theta, \gamma, \phi_0$ が求められる.

そして(4)式により 40 も求められる.

3.2 衛星追尾及び軌道値改良

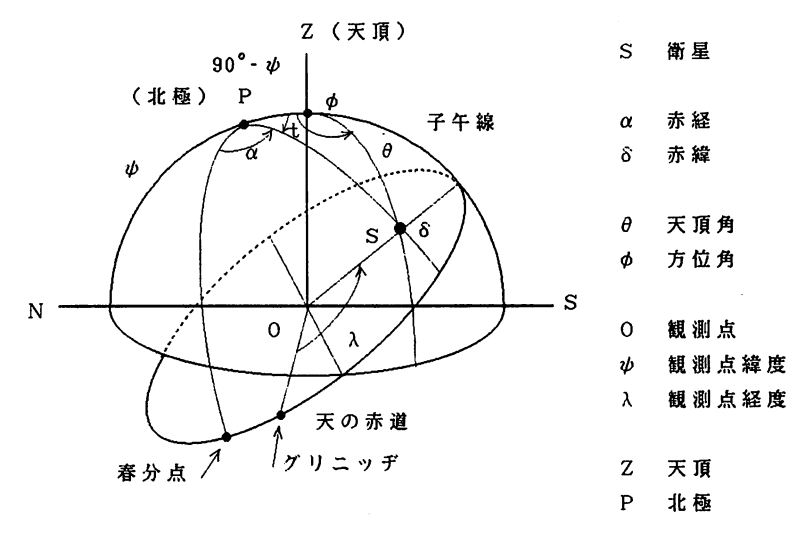
3.1 では恒星追尾を行って、衛星追尾装置の器械誤差 /設置誤差を求める方法について述べた. 求めた誤差を 補正して追尾することによって装置を校正したことにな る. しかし、装置が校正されたからといって十分な衛星 追尾ができるわけではない. ビーコンを有しない衛星を 追尾する場合には、自動追尾はできず、プログラム追尾 (軌道予報値に基づいてあらかじめ軌道を計算して,計 算値により追尾を行う) に頼らざるを得ない. したがっ て精度の良い予報値が必要である.

人工衛星を光学的に追尾し、その追尾データ(刻々の 衛星の方向の測定データ)を用いて、軌道要素の誤差を 推定して軌道予報値の改良を行うためのシステム(ハー ド及びソフトウェア) が著者らによって過去に開発され てきている(6). このシステムによって予報値が悪くて望 遠鏡の視野の端でしか捕捉できない状態でも、一度捕捉 して、追尾した後は、次の軌道からは望遠鏡の視野の中 心近くで追尾することが可能である. そこで、EGS の 実験ではこのシステムを有効に利用した.

軌道要素としては、一般に次の6個が用いられる.

Ω

- (1) 平均運動
- (2) 近地点引数 ω
- (3) 昇交点経度
- (4) 軌道傾斜角



第8図 観測点と衛星の赤経,赤緯の概念図

- (5) 離心率 e
- (6) 平均近点離角 M

このほか,元期 t_0 も軌道上の衛星の位置を定める上で重要な要素である.

今回の衛星追尾でも,指定した衛星の平均軌道要素を 基に,各時刻における衛星の位置を計算し,それに大気 差及び恒星追尾で算出した器械誤差を補正し,プログラ ム追尾を行った.

衛星追尾も、恒星追尾と同様に、主鏡の中心で捕捉するよう手動微調整を行い、中心でとらえたデータのみ計算機に収集し(第4図参照)、後にこの観測データと計算値の差から、最小自乗法及び逐次代入法(非線形方程式なので、始め推定値を与え真の値に近い解を求め、その解を次の段階での推定値として代入して計算するという操作を繰り返し、最も真の値に近いと思われる未知数を求める)により、軌道要素の誤差を求め、軌道予報の改良を行い、次パスの軌道予報の精度を上げるという方法である。(詳細については文献(6)を参照)

衛星追尾の流れ図を第7図に示す.

軌道値の改良は、円軌道に近い衛星なので軌道方向のずれと直角方向のずれを問題とするため、前述の軌道要素のうち次の三つの軌道要素の誤差を求めた. (衛星の軌道が円軌道に近い場合は、3個の軌道要素の取扱でも十分である⁽⁶⁾.)

平均近点離角 M 軌道傾斜角 i 昇交点経度 Ω

いま観測点中心の座標系 (topocentric coordinates) (α, δ, ρ) を考えることにする. ここで α 赤経, δ 赤

緯, ρ 距離である. (α, δ, ρ) と (M, i, Ω) の微分関係を次式で表すことができる.

$$\begin{pmatrix} \rho & \cos \delta & d\alpha \\ & \rho & d\delta \\ & & d\rho \end{pmatrix} = C \begin{pmatrix} dM \\ di \\ d\Omega \end{pmatrix}, \quad C = AB \qquad \cdots (7)$$

行列A, Bの要素は付録 Π に示す。地球中心の座標系を (X_0,Y_0,Z_0) とすると,A及びBは各々 (dX_0,dY_0,dZ_0) から $(\rho\cos\alpha d\alpha,\rho d\delta,d\rho)$, $(dM,di,d\Omega)$ から (dX_0,dY_0,dZ_0) への変換に対応する行列である.

(7)式の両辺の微分は予報値と実測値との差に相当する. 左辺の微分量は追尾データと予報値の差から求められ, Cは理論的に求められるので, 右辺の軌道要素の誤差が逆変換で求められるという原理である.

先ず観測値としての α , δ , ρ を求めなければならないが、観測データは、大気差及び器械誤差を含んだ Az (方位角), EI (仰角) 形式であるので、これを逆算し、真の赤経・赤緯に変換する.

視位置は,恒星追尾と同様に器械誤差(傾き角 γ ,傾き方向 ϕ_0)測得位置 θ^* , ϕ^* との関係から,

$$\theta_{a} = \cos^{-1} \{\cos \theta^{*}\cos \gamma \\ -\sin \theta^{*}\sin \gamma \cos(\phi^{*} - \phi_{0})\}$$

$$\phi_{a} = \phi^{*} - \sin^{-1} \{\sin \\ (\phi^{*} - \phi_{0})\sin \gamma / \sin \theta_{a}\}$$
....(8)

赤経、赤緯は次のようにして求める.第8図の△ZSP について、球面三角法から⁽⁸⁾

$$\cos(90-\delta) = \cos\theta \cos(90-\psi) + \sin\theta \sin(90-\psi)\cos\phi \qquad \cdots (9)$$

 \therefore $\sin \delta = \cos \theta \sin \phi + \sin \theta \cos \phi \cos \phi \cdots (0)$ したがって赤緯 δ は、天頂角 θ と観測点の緯度 ϕ を用 いて、

 $\delta = \sin^{-1} \{\cos \theta \sin \phi + \sin \theta \cos \phi \cos \phi\}$ ……([1]) として求められる。

時角 t は次の二つの式から求める.

(12)式を簡単な形にすると

$$\sin t = \sin \phi \sin \theta / \cos \delta
\cos t = (\cos \theta - \sin \phi \sin \delta) /
\cos \phi \cos \delta$$
.....(15)

赤経は時角から求められ,

$$lpha = \Theta - t$$
(14)
ただし、 $\Theta = \Theta_g + \lambda$ (15)

Θ :観測点恒星時

 Θ_q : グリニッジ恒星時

λ :観測点東経

次に未知数 M, i, Ω の微分を次のように定義する.

$$X = dM$$
 $Y = di$
 $Z = d\Omega$

すると観測方程式は、次式で表される。 I 、I は各々(7) 式の左辺の行列の第1 、第2 行に関連して導き出されている。

(17), (18)式の係数は次のように表せる

$$c_{ij} = \sum_{k=1}^{3} a_{ik} b_{kj}$$
 $i=1, 2; j=1, 2, 3$ (19

ここで、aik、bkj は付録Ⅱに示してある.

さらに(I7)、(18)式の左辺を f と定義し、m回の観測を行ったとすると、最小自乗法を用いるための観測方程式は、

$$\begin{cases}
f_1(X, Y, Z) = 0 \\
f_2(X, Y, Z) = 0 \\
\vdots \\
f_m(X, Y, Z) = 0
\end{cases}
\dots$$

と表せる。この式は(6)式と等価であり,恒星追尾によって器械誤差を求めた場合と同様,付録Iによって,X,Y、Zを求めることができる。

したがって、(16) 式により、三つの軌道要素 0 誤差、dM、di、 $d\Omega$ が求められることになる。

観測方程式は、(17) 式と (18) 式とに対応する 2 系統 があり,各々独立した解が出てくる.一般に(17)と(18)式を組み合わせた最小自乗法;すなわち残差を各々 ν_1 , ν_2 , ν_3 ,…としたとき,

$$(\nu_1^2 + \nu_2^2 + \cdots + \nu_m^2)$$

 $+(\nu_1'^2+\nu_2'^2+\cdots\cdots+\nu_m'^2)=$ Min $\cdots\cdots(21)$ が成立するように解を求めるのが最適であることが過去の実験より明らかになっている $^{(6)}$ ので,今回の EGS の追尾にもこの方法を採用した.

4. EGS 追尾

4.1 EGS 追跡予備宝験

第1回の総合予備実験は、1985年12月から86年1月にかけて、EGPの軌道に近い楕円で、高度が約1000kmのアメリカの測地用衛星ビーコンーCを用いて行った。ビーコンーCの SAO (SMITHSONIAN ASTRO PHYSICAL OBSERVATORY)から提供される、平均軌道要素から、観測条件の良い期間を決め、全機関が参加して行った.① NASA から伝えられた予報データが、正しく入力処理できるか ② 予報値の精度の把握をするなどが当面の課題であったが、電波研究所は過去に、同衛星の追尾実験を行った経験が有り、問題なく実験ができた.

当所では、11月25日に恒星追尾を実施し、機器の校正を行い(校正結果を第1表に示す)12月2、3、5、11日と4回実施、ビーコン-C衛星の追尾を4回とも観測に成功、追尾データを取得し NASDA へ送付した.

NASDAでまとめた総合予備実験は、第2表のとおりであった。

電波研究所の観測データは、NASDAがデータ処理を 行う上で問題点はなかった. NASDAでは、これらのデ ータから軌道決定と観測データとの関連について評価し たところ、① 電波研究所のような角度観測データによ

第1表 恒星追尾結果 (85.11.25)

- * ITERATION COUNT 10
- * NUMBER OF DATA 40

| | VERTICA ERROR | AL AXIS | SCALE ERROR | | | |
|--------------|------------------|------------------|-------------|----------|--|--|
| | DIREC- TION | INCLINA- TION | AZ SCALE | EL SCALE | | |
| ROUGH | 337. 75580 | . 07878 | . 17530 | 05200 | | |
| 1 | 332. 83954 | . 10510 | . 01692 | 02645 | | |
| 2 | 334. 07794 | . 10529 | .01782 | 02645 | | |
| 3 | 334.07547 | . 10532 | .01781 | 02645 | | |
| 4 | 334.07547 | . 10532 | . 01781 | 02645 | | |
| 5 | 334. 07547 | . 10532 | .01781 | 02645 | | |
| 6 | 334.07547 | . 10532 | .01781 | 02645 | | |
| 7 | 334.07547 | . 10532 | . 01781 | 02645 | | |
| 8 | 334. 07547 | . 10532 | . 01781 | 02645 | | |
| 9 | 334. 07547 | . 10532 | . 01781 | 02645 | | |
| 10 | 334. 07547 | . 10532 | . 01781 | 02645 | | |
| COR- RECT | 334. 07547 | . 10532 | . 01781 | 02645 | | |

| 機関名 | 観 測 局 | 観測装置 | データの種類 | 取得月日 | データ数 |
|-----------|------------|------|--------|------------------------------|------|
| 郵政省 電波研究所 | 本 所(国分寺) | 望遠鏡 | AZ, EL | 12/2, 3, 5, 11 | 7210 |
| 文部省 東京天文台 | 堂平観測所 | 望遠鏡 | α, δ | | |
| 海上保安庁 水路部 | 下里水路観測所 | レーザ | 往復時間 | 12/2, 3, 5, 7, 9, 10, 12, 13 | 570 |
| 建設省 国土地理院 | 鹿 野 山 観 測所 | 望遠鏡 | AZ, EL | 12/3, 5, 10, 12 | 111 |

第2表 総合予備実験結果

第3表 ビーコンC衛星 軌道値決定結果

| | | 電波研算出 | | |
|----------------|---|--------------------------------|--------------------------|--------------|
| 使用データ | 電波研究所データ 60/12/3,5 (2パス) 時刻, AZ, EL | 水路部データ 60/12/2,3,5 レーザ測距 | 電波研+水路部 12/5 12/2,3,5 | 電波研 60/12/5 |
| 軌 道 長 半 径 (km) | 7502. 312748 | 7502. 442362 | 7502. 442327 | 7501. 107472 |
| 離 心 率 | 0. 025420968 | 0. 025848784 | 0. 025847953 | 0. 02487875 |
| 軌道傾斜率 (度) | 40. 960287 | 41. 181979 | 40. 988916 | 41. 183095 |
| 昇交点赤経(〃) | 256. 986554 | 256. 968332 | 256. 456729 | 256. 911142 |
| 近地点引数(") | 88. 719979 | 105. 356405 | 105. 428860 | 105. 718706 |
| 平均近点離角 (") | 39. 630693 | 24. 157925 | 24. 157605 | 23. 865192 |

EPOCK 85, 12, 5 0:00' 00" UT

る軌道決定は、レーザ測距データによる場合と比較して、決定精度でやや劣っている。なぜならば、方向のみの観測からは軌道長半径が確定しにくいためである。すなわち、近地点引数、平均近点離角等面内成分が決まりきらないという特徴がある。② しかし、多くのデータの使用により、精度向上が可能であり、電波研究所の角度データによる軌道決定の精度も十分高いことが、NASDAの解析でも明らかになった。

追尾データを基に、電波研究所で軌道値改良の処理を し、軌道要素を算出したところ第3表のような結果を得た。

NASDA 算出の電波研究所データからの軌道値には、 12月3日のデータにノイズが混入したことで精度が落ちたと思われるので、12月5日のデータのみで算出した. すると、レーザ測距の海上保安庁水路部データで算出された軌道値とほとんど変わらない値となった.

4.2 EGS 初期追尾

EGS 打ち上げ当日は、比較的天候にも恵まれ、その日の夜から翌朝にかけ第8周から12周において、各地で観測が行われた、各機関での観測結果を第4表に示す.

日本で初めて観測可能な第8周(8月13日 20h 34 m ~) は、衛星がガイド望遠鏡の端を通過するのを観測できたが、予報値より1分10秒早く通過したので、万一他の衛星を誤って追尾するのを避けるため、予報時刻まで

待ち、このパスは確認のみで追尾はしなかった.

第9周(同 22 h 38 m~) は、NASA の新しい軌道 要素が東京天文台から送られてきたので、この予報値を 用いて第8周の軌道計算をすると観測値と一致 した. (これは、前パス通過の衛星が EGS であること及び予報値が正確であることが同時に証明されたことになる.) そこで、本軌道要素を用いて追尾したところ、見え初めで Az 16°/1000, El 29°/1000, 最大でも、Az 65°/1000, El 31°/1000 のづれがあったに過ぎず、容易に追尾でき、正確なデータを得ることができた. 追尾中は、前述のように手動の微調整を行って、衛星を望遠鏡の視野の中心に入れ、確実に中心に入った正確なデータを計算機に記録させた (第5 a 表).

第10周は、仰角が低いため、追尾しなかった.第11周(8月14日 02 h 46 m~)は、第9周の追尾データを基に、当所システムの軌道値改良プログラムで軌道要素の改良を行い、軌道計算し追尾したところ、見え初めで $Az 5^\circ/1000$ 、 $El -10^\circ/1000$ 最大でも、 $Az 16^\circ/1000$ 、 $El 14^\circ/1000$ の角度誤差(実測値と観測値の差)で観測ができた(第5 b 表).

NASA 予報値で追尾 した第9周 (第5 a 表) と, 第9周の追尾データを基に電波研究所で実施した軌道値改良の軌道要素を使用して追尾した第11周 (第5 b 表) との差でみるとよく改善していることが分かる.

第4表 EGS初期捕捉状況 (第8周回~第12周回)

| 機関周回数 | 8 | 9 | 10 | 11 | 12 | 備考 |
|--------------------|----|----|----|----|----|--------------------------|
| 海上保安庁 | | | | | | |
| 下里水路観測所 レーザ | × | × | × | 0 | 0 | |
| 内 眼 | × | 0 | × | × | × | |
| 八丈水路観測所 | × | 0 | × | 0 | × | 写真撮影 第9,11周回 |
| 白 浜 水 路 観 測 所 | 0 | 0 | 0 | × | × | 写真撮影 第8,9,10周回 |
| 美星水路観測所 | 0 | 0 | 0 | × | × | 写真撮影 第8, 9, 10周回 |
| 国 土 地 理 院 (鹿野山) | 0 | × | × | × | × | |
| 東京天文台(堂平) 光 学 | 0 | 0 | × | × | × | 写真撮影 |
| | × | 0 | × | 0 | × | |
| 電 波 研 究 所 | 0 | 0 | × | 0 | × | |
| 宇宙科学研究所(内之浦) | × | × | × | × | × | 天候不良の為観測不可. 翌15日には観測できた. |
| 種 子 島 | 0 | × | × | × | × | |
| 筑 波 | 0 | × | × | × | × | |
| NASA レーザ測距網 | | | | | | クインシー第4周回目観測 |
| TANON D - 9 BUREAU | | | | | | ヤラガデ 第7周回目観測 |
| GSW (アマチュア天文家) | | | | | | |
| 北 海 道 | | | 1 | 1 | | サブセンター 計 2 |
| 東北 | 6 | 5 | 5 | 4 | | サブセンター 計 20 |
| 東 京 (SUGIHA) | 2 | | | | | サブセンター 計 2 |
| 中部 | , | 23 | | | | サプセンター 計 23 |
| 近 畿(LAT) | 8 | 3 | 1 | 1 | | サブセンター 計 13 |
| 中国 | | | | | | サブセンター 計 0 |
| 四国 | | | | | | サブセンター 計 0 |
| 九州 | 2 | 3 | • | | 1 | サブセンター 計 6 |
| 他(HASEGAWA, HORIE) | | 2 | 2 | | | 計 4 |
| 計 | 18 | 36 | 9 | 6 | 1 | 70 |

○:観測 ×:観測不可 GSWの数値は取得できたデータ件数を示している.

第5 a 表 第9 周追尾データ (86. 8.13)

| IIII . MM . CC . VV | CONTROL DATA | | 7 | RACKING | DATA | RESIDUALS | | | |
|---------------------|--------------|---------|----------|---------|---------|-----------|--------|--------|--------|
| HH: MM: SS: XX | ΑZ | EL | ΑZ | DAZ | EL | DEL | AZ-RSD | EL-RSD | STATUS |
| 22:38:40:76 | 289. 349 | 42. 531 | 289. 365 | 0.000 | 42. 560 | 0.000 | . 016 | . 029 | 140002 |
| 22:38:59:52 | 293. 218 | 44. 425 | 293. 246 | 0.000 | 44. 450 | 0.000 | . 028 | . 025 | 140012 |
| 22:39:32:60 | 301. 129 | 47. 513 | 301.160 | 0.000 | 47. 544 | 0.000 | . 031 | . 031 | 140002 |
| 22:39:44: 7 | 304. 214 | 48. 469 | 304. 246 | 0.000 | 48.500 | 0.000 | . 032 | . 031 | 140002 |
| 22:39:55:71 | 307. 526 | 49.358 | 307. 559 | 0.000 | 49. 389 | 0.000 | . 033 | . 031 | 140002 |
| 22:40:23:15 | 316. 010 | 51.054 | 316.056 | 0.000 | 51.084 | 0.000 | . 046 | . 030 | 140002 |
| 22:40:43:15 | 322. 689 | 51.862 | 322.741 | 0.000 | 51. 891 | 0.000 | . 052 | . 029 | 140002 |
| 22:40:59:41 | 328. 318 | 52.213 | 328. 370 | 0.000 | 52. 241 | 0.000 | . 052 | . 028 | 140002 |
| 22:41:10:59 | 332. 238 | 52. 287 | 332. 288 | 0.000 | 52. 315 | 0.000 | . 050 | . 028 | 140002 |
| 22:42: 1:72 | 349. 668 | 50.901 | 349. 733 | 0.000 | 50. 914 | 0.000 | . 065 | . 013 | 140002 |
| 22:42:12:71 | 353. 131 | 50. 269 | 353. 195 | 0.000 | 50. 280 | 0.000 | . 064 | . 011 | 140002 |
| 22:42:28:57 | 357.870 | 49. 188 | 357. 934 | 0.000 | 49. 206 | 0.000 | . 064 | . 018 | 140002 |
| 22:43: 9:63 | 8. 589 | 45.680 | 8. 647 | 0.000 | 45. 686 | 0.000 | . 058 | .006 | 140001 |
| 22:43:55:89 | 18. 079 | 41.044 | 18. 128 | 0.000 | 41.042 | 0.000 | . 049 | 002 | 140011 |

| | | N2 O | D 3X 3311/41X | EMS) | (00. 0.14) | | | | |
|----------------|----------|---------|---------------|----------|------------|-----------|--------|--------|--------|
| HH: MM: SS: XX | CONTRO | L DATA | 7 | TRACKING | G DATA | RESIDUALS | | | |
| | ΑZ | EL | A Z | DAZ | EL | DEL | AZ-RSD | EL-RSD | STATUS |
| 2:46:39:10 | 349. 052 | 38. 938 | 349.057 | 0.000 | 38. 928 | 0.000 | . 005 | 010 | 140002 |
| 2:46:55:97 | 352. 521 | 40. 189 | 352. 525 | 0.000 | 40.178 | 0.000 | . 004 | 011 | 140002 |
| 2:47:15:89 | 356. 931 | 41.542 | 356. 934 | 0.000 | 41.531 | 0.000 | . 003 | 011 | 140002 |
| 2:47:32:64 | . 896 | 42. 548 | . 901 | 0.000 | 42. 538 | 0.000 | . 005 | 010 | 140001 |
| 2:47:51:58 | 5.642 | 43. 511 | 5. 645 | 0.000 | 43. 501 | 0.000 | . 003 | 010 | 140001 |
| 2:48:37:48 | 18. 035 | 44. 891 | 18.039 | 0.000 | 44. 878 | 0.000 | . 004 | 013 | 140001 |
| 2:49:13:71 | 28. 197 | 44. 881 | 28. 200 | 0.000 | 44. 867 | 0.000 | . 003 | 014 | 140001 |
| 2:49:58:50 | 40. 303 | 43. 527 | 40. 298 | 0.000 | 43. 514 | 0.000 | 005 | 013 | 140001 |
| 2:50:20:76 | 45. 871 | 42. 376 | 45. 866 | 0.000 | 42. 364 | 0.000 | 005 | 012 | 140001 |
| 2:50:47:17 | 51. 966 | 40.691 | 51. 957 | 0.000 | 40.679 | 0.000 | 009 | 012 | 140001 |
| 2:51:12:70 | 57. 295 | 38. 813 | 57. 284 | 0.000 | 38. 802 | 0.000 | 011 | 011 | 140001 |
| 2:51:51:9 | 64. 281 | 35. 699 | 64. 266 | 0.000 | 35. 690 | 0.000 | 015 | 009 | 140001 |
| 2:52:28:57 | 70. 019 | 32. 503 | 70.003 | 0.000 | 32. 495 | 0.000 | 016 | 008 | 140001 |

第5 b 表 第11周追尾データ (86. 8.14)

その後、8月14日、25日と追尾を行った。11月になる と NASDA は EGS の軌道要素を3週間ごと出してい るので、11月21日 Epock が10日前の11月11日の軌道要 素で軌道計算して観測したところ、見え初めで Az 13°/ 1000, El 37°/1000 最大で Az 280°/1000, El 96°/1000 のずれ程度でガイド望遠鏡の中央で、捕らえることがで きた.

電波研究所での観測結果について、 NASDA は海上 保安庁下里水路観測所のレーザ測距データを基に算出し た軌道値と比べても高精度であるとの, 報告がされてい る.

EGS が、ほぽ予定軌道に投入されたこと、当日の天 候がよかったこと及び NASA からの情報にも助けられ て、打ち上げ当日から(海上保安庁(下里)が第11周か ら、東京天文台(堂平)が、第9周から)レーザ測距に 成功し、データが取得されたことから、直接の軌道値計 算にはレーザ測距データが使用され、電波研究所の角度 データは軌道予報値のチェック等に使用された.

第9周の観測をビデオテープに撮った際、EGS の前 方に飛行する物体を確認したので、NASDA に連絡し たところ、'JAS-1 (アマチュア衛星) であることが判明 した. この光学観測によって、JAS-1 もほぼ 予定軌道 に打ち上げられたことが確認された.

おわりに 5.

宇宙開発事業団からの要請により、測地実験衛星 EGS の光学観測を行った. 打ち上げの初期段階において, ビ ーコンを有しない同衛星を光学的に観測し、軌道を決定 することが主目的であった.

レーザ測距技術の発展は著しく、現在では数 cm の精

度で位置を決定することができる. したがって測距デー タから (特に多点観測によって) 軌道を高精 度に 決定 し, 逆に観測点の位置も正確に推定できる. 測地実験衛 星はこれを目的としている.しかし、レーザ測距には、 狭ビームのレーザ光を衛星に照射する必要があるので、 軌道予報が正確でないと測距が不可能である.

そこで我々の第2の目的は、光学観測による衛星の位 置(方向)の測定データが、特に打ち上げ時に、どの程 度有用かをチェックすることにあった. レーザ測距によ る軌道決定は、非常に高い精度が得られるが、レーザ逆 反射器を搭載した衛星しか適用できない. 一方, 光学追 尾による角度データを用いた軌道決定や衛星の軌道予報 値の改良は、すべての衛星について利用できるという長 所を持っているからである.

今回の実験によりおおよその軌道要素の予報値が与え られ、一度衛星を捕捉すれば、光学追尾により取得され た角度データから、十分の精度で軌道値の改良ができ、 追尾精度を向上させるのに有効であることが明らかにな った. 今後も、 MOS-1 検証実験等でより高い精度での 衛星追尾を実施し、宇宙光通信実験等に役立たせていき たい.

辞

今実験に関して、御助言、御指導をいただいた元通信 技術部物性応用研究室荒木主任研究官に深く感謝の意を 表します.

また、本研究の機会を与えて下さった宇宙開発事業団 追跡管制部の各位, 及び有益な助言と SAO や NASA からの情報を提供して下さった東京天文台の各位に, 衷 心より感謝申し上げます.

付録I

観測式(6)は非線形であるので、逐次代入法を用いて解 を求める.

未知数 X, Y, Z の最初の近似値を X_0 , Y_0 , Z_0 とすると、

$$X = X_0 + x$$

$$Y = Y_0 + y$$

$$Z = Z_0 + z$$

$$\cdots (A1)$$

(6)式は線型近似によって次のように表される.

 $f_{i0}+a_ix+b_iy+c_i=0$ $i=1, \cdots m$ \cdots (A2)

$$f_{i0} = f_i(X_0, Y_0, Z_0)$$

$$a_i = \left(\frac{\partial f}{\partial X}\right)_0 ; b_i = \left(\frac{\partial f}{\partial Y}\right)_0 ; c_i = \left(\frac{\partial f}{\partial Z}\right)_0$$

$$i = 1, 2, \dots m \dots (A3)$$

x, y, z に対する最小自乗法の解は次の正規方程式を解くことによって得られる.

$$[a \ a] = a_{1}a_{1} + a_{2}a_{2} + \cdots + a_{m}a_{m}$$

$$[a \ b] = a_{1}b_{1} + a_{2}b_{2} + \cdots + a_{m}b_{m}$$

$$\vdots$$

$$[a \ f] = a_{1}f_{10} + a_{2}f_{20} + \cdots + a_{m}f_{m0}$$

$$\vdots$$

$$(A5)$$

求めた x, y, z を (A1) 式に代入すると X, Y, Z が求められる.

付録Ⅱ

(19]式の行列a, b の各要素は次のとおりである.

$$a_{11} = -\sin \alpha$$
 $a_{12} = \cos \alpha$ $a_{13} = 0$
 $a_{21} = -\sin \delta \cos \alpha$ $a_{22} = -\sin \delta \sin \alpha$
 $a_{23} = \cos \delta$
 $a_{31} = \cos \delta \cos \alpha$ $a_{32} = \cos \delta \sin \alpha$
 $a_{33} = \sin \delta$
.....(A6)

$$b_{11} = \frac{a}{\sqrt{1 - e^2}} \left[\frac{1}{r} \frac{\partial x}{\partial L} - e(\sin \omega \cos \Omega) + \cos \omega \sin \Omega \cos i \right]$$

$$+ \cos \omega \sin \Omega \cos i$$

$$b_{12} = r \sin L \sin \Omega \sin i$$

$$b_{13} = -y$$

$$b_{21} = \frac{a}{\sqrt{1 - e^2}} \left[\frac{1}{r} \frac{\partial y}{\partial L} e(\sin \omega \sin \Omega) \right]$$

$$-\cos\omega\cos\Omega\cos\Omega\,\cos i)\bigg]$$

$$b_{22} = -r\sin L\cos\Omega\,\sin i$$

$$b_{23} = x$$

$$b_{31} = \frac{a}{\sqrt{1 - e^2}}\bigg[\frac{1}{r}\frac{\partial z}{\partial L} + e\cos\omega\sin i\bigg]$$

$$b_{32} = r\sin L\cos i$$

$$b_{33} = 0$$
.....(A7)

てとで,

$$\frac{\partial x}{\partial L} = -r \sin L \cos \Omega - r \cos L \sin \Omega \cos i$$

$$\frac{\partial y}{\partial L} = -r \sin L \sin \Omega - r \cos L \cos \Omega \cos i$$

$$\frac{\partial z}{\partial L} = -r \cos L \sin i$$

·····(A8)

a, L, r はそれぞれ平均半径,緯度引数,地球中心距離である.

(x, y, z) は赤道座標系であり、他のものは、本文で定義してある。ここでは、3個の軌道要素 M, i, Ω に対する行列要素のみを示してある。(他の要素については、文献(6)を参照)

参考文献

- (1) 橋本英一; "測地実験衛星(あじさい)の開発"計 測自動制御学会リモートセンシング部会(第11回)資 料, pp. 21-26, Oct. 1986.
- (2) Kozai, Y., Tsuchiya, A., Tomita, K., Kanda, T., Sato, H., Kobayashi, N., and Torii, Y.; "Satellite Laser Ranging Instruments Operated at Tokyo Astronomical Observatory" Tokyo Astronomical Bulletin, 2nd series, No. 223, pp. 2597-2605, 1973.
- (3) Bufton, J. L.; "Scintillation statistics measured in earth-space-earth retroreflector link", Appl. Opt., 16, pp. 2654-2660, 1977.
- (4) Fourth International Workshop on Laser Ranging Instrumentation (austin, Texas, U. S. A.), Oct., 1981.
- (5) 佐々木稔; "下里水路観測所における人工衛星レー ザ測距の現状", 第 9 回 レーザレーダ シンポジューム 予稿集, pp. 1-4, Nov. 1983.
- (6) Aruga, T., and Araki, K.; "Improvement of Satellite Tracking Accuracy Using Optical Ob-

servations" IEEE Trans. on Aeros. Electron. Syst., AES-21, pp. 514-521, 1985.

(7) Aruga, T., Araki, K., Igarashi, T., Imai, F., Yamamoto, Y., and Sakagami, F.; "Earth-to-

Space laser beam transmisson for Spacecraft attitude measurement", Appl. Opt. 23, pp. 143-147, 1984.

(8) 長谷川一郎;"天文学計算入門"恒星社,1979.